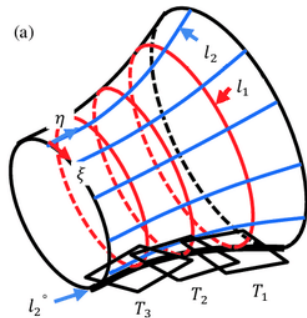


APLICACIONES DE LA SEGUNDA FORMA FUNDAMENTAL

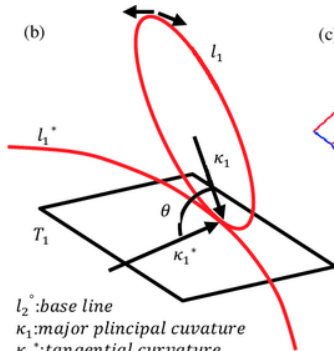
ALAN REYES-FIGUEROA
GEOMETRÍA DIFERENCIAL

(AULA 20) 13.ABRIL.2023

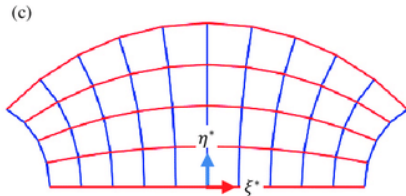
Aplicaciones de la Segunda Forma



l_1 : major principal curvature line
 l_2 : minor principal curvature line
 $T_1 \sim T_3$: tangential plane



l_2^0 : base line
 κ_1 : major principal curvature
 κ_1^* : tangential curvature
 θ : formed angle by κ_1 and κ_1^*
 l_1^* : the line expanded from l_1



ξ, ξ^* : coordinate along l_1, l_1^*
 η, η^* : coordinate along l_2, l_2^*

Green strain tensor: $E_{ij} = \frac{1}{2}(F_{ki}F_{kj} - \delta_{ij})$

Position vector: $\mathbf{x}(\xi, \eta), \mathbf{x}^*(\xi^*, \eta^*)$

$*F_{ij} = \frac{d\mathbf{x}(\xi, \eta)}{dx^*(\xi^*, \eta^*)}$

Las curvaturas principales κ_1 y κ_2 están relacionadas con el tensor de estrés.

Aplicaciones de la Segunda Forma



(a) La Sagrada Familia (Gaudi). (b) Detalle de catenarias en las columnas

Ver https://www.youtube.com/watch?v=KXP_kPPc7LY

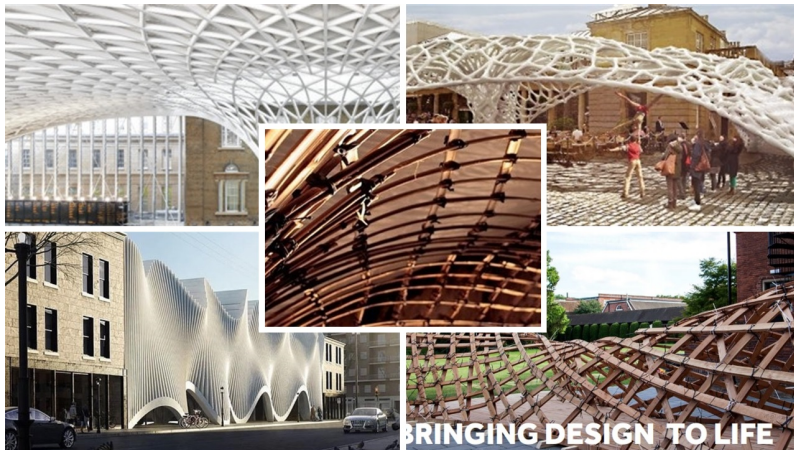
Aplicaciones de la Segunda Forma



Puente formado por líneas de curvatura (Schlaich).

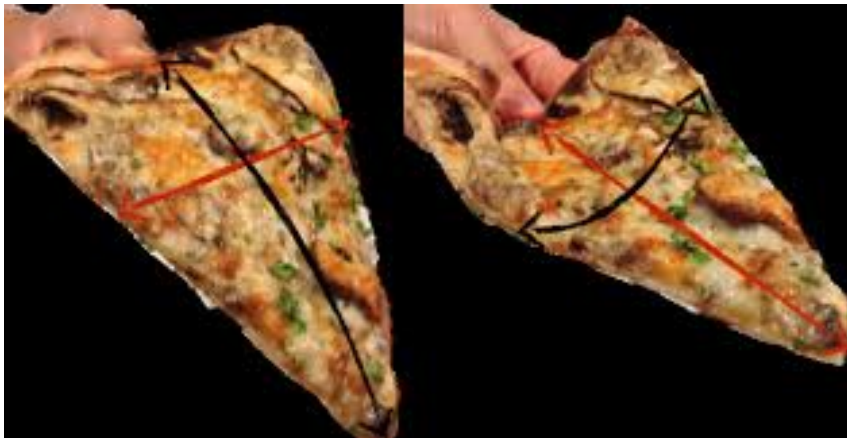
Ver <https://www.youtube.com/watch?v=VeahrtDy7n8I&t=5s>

Aplicaciones de la Segunda Forma



Variedad de estructuras arquitectónicas basadas en superficies.

Aplicaciones de la Segunda Forma



Gauss nos enseña hasta como se debe tomar un pedazo de pizza.

Ejemplos

Ejemplo 1: (El plano)

Tomemos la parametrización $\mathbf{x}(u, v) = \mathbf{p}_0 + u\mathbf{w}_1 + v\mathbf{w}_2$, con $\{\mathbf{w}_1, \mathbf{w}_2\}$ base del plano. Luego, $\mathbf{x}_u = \mathbf{w}_1$, $\mathbf{x}_v = \mathbf{w}_2$.

De ahí,

$$N(\mathbf{p}) = \frac{\mathbf{x}_u(\mathbf{p}) \times \mathbf{x}_v(\mathbf{p})}{|\mathbf{x}_u(\mathbf{p}) \times \mathbf{x}_v(\mathbf{p})|} = \frac{\mathbf{w}_1 \times \mathbf{w}_2}{|\mathbf{w}_1 \times \mathbf{w}_2|}$$

es constante.

$\Rightarrow DN(\mathbf{p}) = \mathbf{0}$, $\forall \mathbf{p} \in S$. Así, si \mathbf{e}_1 y \mathbf{e}_2 son las direcciones principales, entonces

$$DN(\mathbf{p}) \cdot \mathbf{e}_1 = \mathbf{0} = 0\mathbf{e}_1, \quad DN(\mathbf{p}) \cdot \mathbf{e}_2 = \mathbf{0} = 0\mathbf{e}_2.$$

De modo que $\kappa_1 = 0$ y $\kappa_2 = 0$.

En este caso $II_{\mathbf{p}}(\mathbf{v}) = \mathbf{0}$, para todo $\mathbf{v} \in T_{\mathbf{p}}S$.

Ejemplos

Ejemplo 2: (Esfera de radio R)

Para una esfera S^2 de radio R (centrada en el origen), tenemos que la aplicación de Gauss, con la orientación que apunta todos los vectores normales hacia el origen, es

$$N(\mathbf{p}) = -\frac{1}{R}\mathbf{p}, \quad \forall \mathbf{p} \in S^2.$$

Luego, $DN(\mathbf{p}) \cdot \mathbf{v} = -\frac{1}{R}I \cdot \mathbf{v} = -\frac{1}{R}\mathbf{v}$, $\forall \mathbf{v} \in T_{\mathbf{p}}S^2$. En particular,

$$II_{\mathbf{p}}(\mathbf{v}) = -\langle DN(\mathbf{p}) \cdot \mathbf{v}, \mathbf{v} \rangle = \frac{1}{R}\|\mathbf{v}\|^2.$$

Si \mathbf{e}_1 y \mathbf{e}_2 son las direcciones principales en S^2_R , entonces

$$DN(\mathbf{p}) \cdot \mathbf{e}_1 = -\frac{1}{R}\mathbf{e}_1, \quad DN(\mathbf{p}) \cdot \mathbf{e}_2 = -\frac{1}{R}\mathbf{e}_2.$$

Luego, $\kappa_1 = \frac{1}{R}$ y $\kappa_2 = \frac{1}{R}$, y $II_{\mathbf{p}}(\mathbf{v}) = -\frac{1}{R}$, para todo $\mathbf{v} \in T_{\mathbf{p}}S^2$.

Ejemplo 3: (Cilindro)

Consideramos el cilindro $S = S^1 \times \mathbb{R} = \{(x, y, z) \in \mathbb{R}^3 : x^2 + y^2 = R^2\}$. $S = f^{-1}(R^2)$, con $f(x, y, z) = x^2 + y^2$, y como R^2 es valor regular de f , S es superficie regular orientable. Además,

$$N(\mathbf{p}) = -\frac{\nabla f(x, y, z)}{|\nabla f(x, y, z)|} = \frac{(2x, 2y, 0)}{|(2x, 2y, 0)|} = -\frac{1}{R}(x, y, 0) = -\frac{1}{R}\mathbf{p}.$$

Consideramos la curva $(x(t), y(t), z(t))$ contenida en el cilindro, es decir, con $x(t)^2 + y(t)^2 = R^2$. A lo largo de esta curva, $N(t) = \frac{1}{R}(-x(t), -y(t), 0)$ y por lo tanto,

$$DN(\mathbf{p}) \cdot (x'(t), y'(t), z'(t)) = N'(t) = \frac{1}{R}(-x'(t), -y'(t), 0).$$

Ejemplos

Concluimos lo siguiente:

Si \mathbf{w}_1 es un vector tangente al cilindro y paralelo al eje z , entonces $DN(\mathbf{p}) \cdot \mathbf{w}_1 = \mathbf{0} = 0\mathbf{w}_1$;

si \mathbf{w}_2 es un vector tangente al cilindro y paralelo al plano xy , entonces $DN(\mathbf{p}) \cdot \mathbf{w}_2 = -\frac{1}{R}\mathbf{w}_2$.

De ello se deduce que \mathbf{w}_1 y \mathbf{w}_2 son los autovectores de $DN(\mathbf{p})$, con autovalores $\kappa_1 = 0$ y $\kappa_2 = \frac{1}{R}$, respectivamente.

